

МАТЕМАТИЧЕСКОЕ МОДЕЛИРОВАНИЕ ПРОЦЕССА РЕЗАНИЯ ПРИ ШЛИФОВАНИИ

Е.М. Буракова, лаборант

Юргинский технологический институт (филиал) Национального исследовательского

Томского политехнического университета

652055, Кемеровская обл., г. Юрга, ул. Ленинградская, 26

Процесс шлифования занимает большое место в современном машиностроении как один из финишных методов обработки. Причем высокие скорости резания при шлифовании и формообразование в тонких приповерхностных слоях материала вызывают значительные механические и тепловые нагрузки, приводящие иногда к трещинам и прижегам на обработанных поверхностях. Это ухудшает качество обработки. С другой стороны, высокие температуры при шлифовании воздействуют на шлифовальный круг, приводят к выгоранию связки, затуплению зерен, повышенному износу, что снижает производительность и ухудшает условия обработки.

До настоящего времени тепловые и динамические процессы при шлифовальной обработке исследовались раздельно. Но при использовании предельных режимов резания и повышении требований к точности обработки постоянные времени этих процессов в зоне резания становятся сравнимыми. Поэтому динамическое поведение технологического оборудования можно предсказать только с учетом комплексного воздействия тепловых и упругих процессов.

Для построения математической модели использован метод электрической аналогии [1], который позволяет отразить как тепловые, так и процессы другой физической природы.

Шлифование как процесс пластического деформирования и разрушения материалов детали и круга занимает промежуточное положение между резанием резцом [2, 3] и трением. Поэтому при моделировании динамики процесса шлифования необходимо учесть особенности этого процесса. Математические модели должны учитывать, что изменения условий обработки (подача, ширина круга, зернистость и т. д.) влияют на силы резания через изменение фактического, а не номинального сечения срезаемого слоя. Схему контакта шлифовального круга с заготовкой можно представить в соответствии с рис. 1.

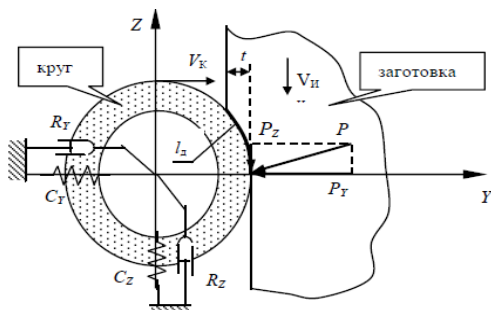


Рис. 1. Схема контакта шлифовального круга

Процесс удаления материала с заготовки на длине контакта l_d обеспечивают отдельные зерна (рис. 2). Процесс отделения стружки отдельным зерном содержит три фазы упругопластического взаимодействия: фаза чистой упругой деформации, фаза упругой и пластической деформации, фаза упругой и пластической деформации с удалением материала. При этом значения составляющих совокупной силы резания могут быть вычислены по следующим выражениям.

$$\begin{aligned} P_x &= \sum P_{3Yi} + P_{CbY} + P_{CrY} + P_{GdY}, \\ P_z &= \sum P_{3Zi} + P_{CbZ} + P_{CrZ} + P_{GdZ}. \end{aligned} \quad (1)$$

где P_{3Yi} , P_{3Zi} , P_{CbY} , P_{CbZ} , P_{CrY} , P_{CrZ} , P_{GdY} , P_{GdZ} – радиальная и тангенциальная составляющие силы резания соответственно при микрорезании единичным зерном, от контакта материала со связкой круга, от контакта материала со стружкой, заполняющей поры круга, от воздействия гидродинамических потоков в области контакта детали с кругом.

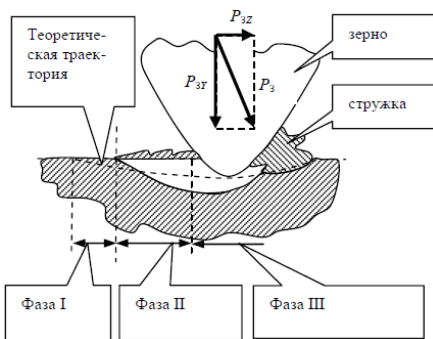


Рис. 2. Процесс резания отдельным зерном

Первые слагаемые, наиболее тесно связаны с кинематикой процесса и формированием обрабатываемой поверхности. Остальные составляющие мало зависят от относительного смещения круга и заготовки, их можно принять постоянными величинами и учесть в модели постоянными внешними усилиями.

Для определения P_{3Y} , P_{3Z} учтем систему сил, действующую на режущий выступ абразивного зерна (рис. 3) [3], и износ зерна при обработке.

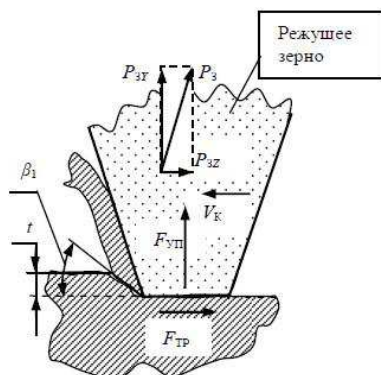


Рис. 3. Воздействие системы сил на режущий выступ зерна

При моделировании динамики процесса резания при шлифовании процесс резания будем отображать в виде полной линейной модели [2, 3, 4], так как процесс микрорезания зерна соответствует процессу резания резцом.

При этом процессы микрорезания зерен, находящихся в контакте с заготовкой, представим в виде некоторого совокупного процесса (2).

$$P + T_p P = h_{px} x + k_{py} y + h_{py} y + k_{pz} z + h_{pz} z, \quad (2)$$

где k_{px} , k_{py} – коэффициенты резания по осям x , y , h_{px} , h_{py} , h_{pz} – коэффициенты демпфирования по координатам x , y , z .

Коэффициенты резания по осям y и z при шлифовании можно вычислить по выражениям (3):

$$\begin{aligned} k_{py} &= \left(\frac{\sqrt{3,25} \sin \beta}{\sin \beta} + 1 \right) \tau n_p B l_d, \\ k_{pz} &= \left(\frac{\sqrt{3,25} \cos \beta}{\sin \beta} + \mu \right) \tau n_p B l_d. \end{aligned} \quad (3)$$

где β – угол между равнодействующей силой резания и скоростью резания,

β_1 – угол сдвига,

τ – среднее касательное напряжение в плоскости сдвига,

n_p – фактическое число зерен, участвующих в резании, на единице площадки контакта круга с заготовкой,

B – ширина контакта круга с заготовкой,

l_d – длина контакта круга с заготовкой,

μ – коэффициент трения стружки о поверхность зерна.

Величину фактического числа зерен, участвующих в резании, на единичной площадке контакта круга с заготовкой можно определить, исходя из законов теории вероятности, по выражению (4) [2, 5, 6, 7]:

$$n_p = \frac{0,4}{x_{cp}^2} \sqrt{\frac{\omega^* \cdot K^*}{v_k \cdot (1-\varepsilon)}}, \quad (4)$$

где X_{cp} – средняя величина зерна, мм,

K^* – концентрация режущего материала в круге, %, v_k – скорость шлифования, м/с,

ε – относительная глубина заделки зерен, ($\varepsilon=0,7\dots0,8$),

ω – скорость погружения зерен в обрабатываемый материал, мм/с.

Абразивные и алмазные круги, применяемые при шлифовании, являются инструментами со стохастическим (вероятностным) расположением множества элементарных режущих зерен. В месте расположения каждого из зерен с материалом заготовки выделяется теплота, возникающая в процессе срезания отдельной стружки. Расположение этих локальных источников тепловыделения на поверхности контакта между заготовкой и кругом в связи со стохастическим размещением зерен непрерывно меняется во времени. Это приводит к выравниванию температур на всей контактной поверхности заготовки. Выравниванию температур содействует также явление самозатачивания. Эти особенности процесса шлифования позволяют при отображении тепловых процессов ориентироваться на схематизированное зерно с некоторыми усредненными геометрическими параметрами и условиями работы.

Для практического теплофизического анализа процесса шлифования будем использовать систему тел и источников в локальной области, прилежащей к зерну [5, 8, 9], согласно рис. 4.

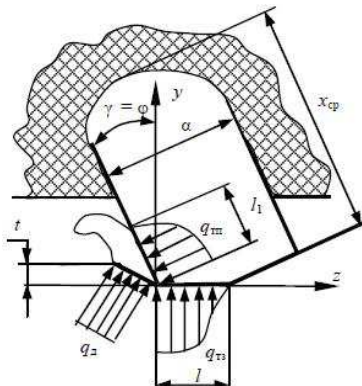


Рис. 4. Режущий выступ зерна и расположение источников тепловыделения

Данная схема представляет режущий выступ зерна. В схеме учитываются три источника тепловыделения: от деформации q_d , от трения на поверхности контакта зерна с обрабатываемым материалом q_{ts} и от трения передней поверхности зерна со стружкой q_{tp} .

Теплота от каждого элементарного источника распределяется между всеми телами, участвующими в процессе. Представим это распределение в виде итоговых потоков теплообмена между инструментом, заготовкой и стружкой [2, 5, 6, 7, 8, 9].

Итоговые потоки тепла определяем как результат совокупности элементарных потоков, соединенных параллельно. Элементарные источники представим аналогично в виде соответствующих совокупных источников.

$$Q = q \cdot n_d \cdot l_d \cdot B,$$

где n_d – средневероятное количество режущих зерен, активно участвующих в процессе шлифования на единице контакта,

l_d – длина контакта,

B – ширина контакта.

Математическая модель теплодинамической системы шлифовального станка при врезном шлифовании представляет собой систему обыкновенных дифференциальных уравнений с постоянными коэффициентами:

$$\left. \begin{aligned}
 & \varphi + h_{\varphi} \varphi + C_{\varphi} + k_z P = 0, \\
 & M_x x + h_x x + C_x x + k_x P = 0, \\
 & M_y y + h_y y + C_y y + k_y P = 0, \\
 & h_{px} x + h_{py} y + h_{pz} z + \frac{1}{T_p} P + P = 0, \\
 & C_c \frac{d\Theta_1}{dt} + \left(\frac{1}{R_c} + \frac{1}{R_{tp}} \right) \Theta_1 - \frac{1}{R_{tp}} \Theta_2 = Q_d b^* \\
 & - \frac{1}{R_{tp}} \Theta_1 + \left(\frac{1}{R_{tp}} + \frac{1}{R_z} \right) \Theta_2 - \frac{1}{R_z} \Theta_3 = Q_{tp} \\
 & - \frac{1}{R_z} \Theta_2 + C_k \frac{d\Theta_3}{dt} \left(\frac{1}{R_k} + \frac{1}{R_Y} + \frac{1}{R_z} \right) \Theta_3 - \frac{1}{R_Y} \Theta_4 = 0 \\
 & - \frac{1}{R_Y} \Theta_3 + \left(\frac{1}{R_Y} + \frac{1}{R_{t3}} \right) \Theta_4 - \frac{1}{R_{t3}} \Theta_5 = Q_{t3} \\
 & - \frac{1}{R_{t3}} \Theta_4 + C_u \frac{d\Theta_5}{dt} \left(\frac{1}{R_{t3}} + \frac{1}{R_u} \right) \Theta_5 = Q_d (1 - b^*)
 \end{aligned} \right\} \quad (5)$$

где $\theta_1, 2, 3, 4, 5$ – средние температуры характерных элементов исходной системы шлифовальной обработки: средняя температура стружки; средняя температура на передней поверхности зерна (температура резания), средняя температура в теле режущего зерна, средняя температура на задней поверхности зерна; средняя температура изделия;

k_{ph}, k_{pr} – коэффициенты резания по соответствующим координатам;

h_{px}, h_{py}, h_{pz} – коэффициенты демпфирования резания по соответствующим координатам;

k_x, k_y, k_z – коэффициенты, определяемые проекциями силы резания на соответствующие оси;

Q_d – теплота деформации (в ваттах);

b^* – коэффициент распределения теплоты деформации между изделием и стружкой;

Q_{tp} – источник теплоты трения стружки по передней поверхности;

Q_{t3} – источник теплоты трения заготовки по задней поверхности;

R_{tp} – определяет теплообмен между стружкой и передней поверхностью зерна;

R_{t3} – аналогично, определяет теплообмен между изделием и задней поверхностью зерна;

R_c – отражает отвод тепла со стружкой из зоны резания;

R_u – учитывает теплоотвод из зоны резания в глубину изделия за счет его относительного движения;

R_z, R_Y – отражают теплообмен между задней и передней поверхностями зерна;

R_k – учитывает отвод тепла от зерна в связку круга;

C_i – учитывают теплоемкость участков.

Полученная математическая модель (5) описывает основные теплодинамические процессы при врезном шлифовании. Она обладает достаточной гибкостью и универсальностью, позволяет отображать нюансы тепловых и механических упругих процессов при различных условиях обработки.

Литература.

1. Зарубин, В. С. Математическое моделирование в технике: Учеб. для вузов / В. С. Зарубин, А. П. Крищенко. М.: Изд-во МГТУ им. Н. Э. Баумана, 2001. 496 с.
2. Никитин С. П. Моделирование процесса резания при шлифовании с учетом взаимодействия упругой и тепловой систем / Вестник УГАТУ, 2009, №4, С 61-65.
3. Кедров, С. С. Колебания металорежущих станков / С. С. Кедров. М.: Машиностроение, 1978. 199 с.

4. Кудинов, В. А. Системность и диалектика в динамике технологических процессов и машин / В. А. Кудинов // СТИН. 2000. № 1. С. 5–11.
5. Резников, А. Н. Теплофизика процессов механической обработки материалов / А. Н. Резников. М.: Машиностроение, 1981. 279 с.
6. Резников, А. Н. Теплофизика резания / А. Н. Резников. М.: Машиностроение, 1969. 288 с.
7. Резников, А. Н. Термические процессы в технологических системах / А. Н. Резников, Л. А. Резников. М.: Машиностроение, 1990. 288 с.
8. Якимов, А. В. Теплофизика механической обработки / А. В. Якимов, П. Т. Слободянник, А. В. Усов. К., Одесса: Лыбидь, 1991. 240 с.
9. Ящерицын, П. И. Теория резания. Физические и тепловые процессы в технологических системах: Учеб. для вузов / П. И. Ящерицын. Мн.: Выш. шк., 1990. 512 с.